

**Воркшоп по математическому моделированию и
дифференциальным уравнениям, посвященный юбилею
Заслуженного деятеля науки РФ, д.ф.-м.н., проф. Ватульяна А.О.**

Нестеров С.А.

**Южный математический институт –
филиал ВЦ РАН**

Об обратных задачах термомеханики

Владикавказ

22-24 ноября 2023

Актуальность

Широкое внедрение в области техники с высокотемпературным окружением элементов конструкций, изготовленных из функционально-градиентных материалов, которые моделируются неоднородными структурами, ставит перед исследованиями задачи идентификации термомеханических характеристик в виде функций. Такие задачи относятся к классу коэффициентных обратных задач термомеханики.

Исследованию коэффициентных обратных задач механики и теплопроводности посвящены работы

Алексеева А.С., Алифанова О.М., Артюхина Е.А., Румянцева С.В., Аниконова А.Ю., Апбасова С.О., Бакушинского А.Б., Благовещенского А.С., Бухгейма А.Л., Ватульяна А.О., Гасанова А., Глушковых Е.В. и Н.В., Денисова А.М., Кабанихина С.И., Лаврентьева М.М., Ломазова В.А., Ляпина А.А., Морозова В.А., Ненарокомова А.В., Романова В.Г., Сковороды А.Р., Сатыбаева А. Дж., Тананы В.П., Яхно В.Г., Vui H.D., Chang J-D., Chavent G., Cheng T.C., Chen G., Constantinescu A., Jadamba B., Hao D., Klibanov M.V., Kravaris C., Lee C.R., Lukasiwicz S.A., Xu M.H., Cao K., Lesnic D., Chen J., Gockenbach M.S. и др.

Основные методы решения КОЗ

- 1) Метод сведения обратных задач к экстремальным задачам и применение градиентных методов минимизации функционала невязки или генетических алгоритмов;
- 2) Метод обращения разностных схем;
- 3) Метод операторов Вольтерра.

Обратные задачи термоупругости

1. **Вестяк В. А., Земсков А. В., Эрихман Н. Н.** Численно-аналитическое решение обратной коэффициентной задачи термоупругости для пластины // Вестник МАИ. 2009. Т. 16, №6. С. 244-249.
2. **Ломазов В. А.** Задачи диагностики неоднородных термоупругих сред. Орел: Изд-во ОрелГТУ, 2002. 168 с.
3. **Lukasiewicz S. A., Babaei R., Qian R. E.** Detection of material properties in a layered body by means of thermal effects // J. Thermal Stresses. 2003. V. 26, №1. P. 13-23.

Цель данного исследования

Разработка простых и универсальных подходов для идентификации распределенных неоднородностей в стержневых, плоских и цилиндрических структурах.

Нелинейная коэффициентная обратная задача термомеханики решается путем построения итерационного процесса, на каждом этапе которого решается линейное операторное уравнение 1-го рода, полученное на основе слабой постановки и метода линеаризации.

Некоторые работы, в которых представлены основные результаты исследования

- 1. Ватульян А.О., Нестеров С.А.** Коэффициентные обратные задачи термомеханики. 2-е изд., исправ. и доп. Ростов-на-Дону – Таганрог: Издательство Южного федерального университета, 2022. 178 с.
- 2. Nedin R., Nesterov S., Vatulyan A.** On an inverse problem for inhomogeneous thermoelastic rod // International Journal of Solids and Structures. 2014. Vol. 51, No. 3-4. P. 767-773.
- 3. Ватульян А.О., Нестеров С.А.** К определению неоднородных термомеханических характеристик трубы // Инженерно-физический журнал. 2015. Т. 88, № 4. С. 951-959.
- 4. Vatulyan A., Nesterov S., Nedin R.** Some features of solving an inverse problem on identification of material properties of functionally graded pyroelectrics // International Journal of Heat and Mass Transfer. 2019. Vol. 128. P. 1157-1167.

Термомеханические характеристики

k_{ij}	компоненты тензора теплопроводности
c_ε	удельная теплоемкость
γ_{ij}	компоненты тензора температурных напряжений
c_{ijkl}	компоненты тензора упругих модулей
ρ	плотность

Физические поля

θ	температура
u_i	компоненты вектора перемещений
σ_{ij}	компоненты тензора напряжений

Нагрузки

p_i	компоненты вектора механической нагрузки
q	плотность теплового потока

Постановка коэффициентной обратной задачи термоупругости

$$\left(c_{ijkl} u_{k,l} - \gamma_{ij} \theta \right)_{,j} = \rho \ddot{u}_i, \quad (1)$$

$$\left(k_{ij} \theta_{,j} \right)_{,i} - c_\varepsilon \dot{\theta} - T_0 \gamma_{ij} \dot{u}_{i,j} = 0, \quad (2)$$

$$\theta(M, 0) = u_i(M, 0) = \frac{\partial u_i}{\partial t}(M, 0) = 0. \quad (3)$$

Тепловое нагружение

$$u_i |_{S_u} = 0, \quad \theta |_{S_T} = 0, \quad -k_{ij} \theta_{,i} n_j |_{S_q} = q, \quad \sigma_{ij} n_j |_{S_\sigma} = 0 \quad (4)$$

Механическое нагружение

$$u_i |_{S_u} = 0, \quad \theta |_{S_T} = 0, \quad \theta_{,i} n_j |_{S_q} = 0, \quad \sigma_{ij} n_j |_{S_\sigma} = p_i \quad (5)$$

дополнительная информация

$$\theta |_{S_q} = f(x, t) \quad t \in [T_1, T_2] \quad (6)$$

$$u_i |_{S_\sigma} = g_i(x, t) \quad i = 1, 2, 3 \quad t \in [T_3, T_4] \quad (7)$$

Постановка КОЗ термоупругости состоит в нахождении термомеханических характеристик (коэффициентов дифференциальных операторов термоупругости) из (1)-(4) или (5) по дополнительной информации (6) или (7).

Операторные уравнения, связывающие искомые термомеханические характеристики с трансформантами перемещений и температуры на части границы тела

На основе использования слабой постановки и метода линеаризации

При тепловом нагружении

$$\int_V \delta k_{ij}^{(n-1)} \tilde{\theta}_{,i}^{(n-1)} \tilde{\theta}_{,j}^{(n-1)} dV + p \int_V \delta c_\varepsilon^{(n-1)} (\tilde{\theta}^{(n-1)})^2 dV + p T_0 \int_V \delta \gamma_{ij}^{(n-1)} \tilde{u}_{i,j}^{(n-1)} \tilde{\theta}^{(n-1)} dV = \int_{S_q} \tilde{q} (\tilde{f} - \tilde{\theta}^{(n-1)}) dS \quad (8)$$

При механическом нагружении

$$\int_V \delta c_{ijkl}^{(n-1)} \tilde{u}_{i,j}^{(n-1)} \tilde{u}_{k,l}^{(n-1)} dV + p^2 \int_V \delta \rho^{(n-1)} (\tilde{u}_i^{(n-1)})^2 dV + \int_V \delta \gamma^{(n-1)} \tilde{u}_{i,j}^{(n-1)} \tilde{\theta}^{(n-1)} dV = - \int_{S_\sigma} \tilde{p}_i (\tilde{g}_i - \tilde{u}_i^{(n-1)}) dS \quad (9)$$

В случае восстановления одной характеристики при известных остальных полагаем в уравнениях (9), (10) все поправки кроме той, которую определяем, равными нулю.

Итерационная схема решения обратной задачи

- 1) Поиск начального приближения коэффициентов в классе линейных функций на основе минимизации функционала невязки.
- 2) Нахождение поправки $\delta\bar{a}^{(n-1)}(z)$ реконструируемых коэффициентов путем решения интегральных уравнений Фредгольма 1-го рода на $(n-1)$ итерации.
- 3) Построение нового приближения $\bar{a}^{(n)}(z) = \bar{a}^{(n-1)}(z) + \delta\bar{a}^{(n-1)}(z)$.

Выход из итерационного процесса осуществлялся:

- 1) по предельному количеству итераций, равному 20;
- 2) по достижению функционалом невязки порогового значения, равного 10^{-6} .

В случае **теплового** нагружения функционал невязки

$$J_1 = \int_a^b (f(\tau_1) - W^{(n-1)}(1, \tau_1))^2 d\tau_1. \quad (10)$$

В случае **механического** нагружения функционал невязки

$$J_2 = \int_c^d (g(\tau_2) - U^{(n-1)}(1, \tau_2))^2 d\tau_2. \quad (11)$$

1. Задача для термоупругого стержня

$$\frac{\partial \sigma_x}{\partial x} = \rho(x) \frac{\partial^2 u}{\partial t^2}, \quad (12)$$

$$\sigma_x = E(x) \frac{\partial u}{\partial x} - \gamma(x)\theta, \quad (13)$$

$$\frac{\partial}{\partial x} \left(k(x) \frac{\partial \theta}{\partial x} \right) = c_\varepsilon(x) \frac{\partial \theta}{\partial t} + T_0 \gamma(x) \frac{\partial^2 u}{\partial x \partial t}, \quad (14)$$

$$\theta(x, 0) = u(x, 0) = \frac{\partial u}{\partial t}(x, 0) = 0 \quad (15)$$

Граничные условия при тепловом воздействии

$$u(0, t) = \theta(0, t) = 0, \quad -k(l) \frac{\partial \theta}{\partial x}(l) = q_0 \varphi(t), \quad \sigma_x(l, t) = 0. \quad (16)$$

Граничные условия при механическом воздействии

$$u(0, t) = \theta(0, t) = 0, \quad \frac{\partial \theta}{\partial x}(l, t) = 0, \quad \sigma_x(l, t) = p_0 \phi(t). \quad (17)$$

2. Задача для термоупругой трубы

$$\frac{\partial \sigma_{rr}}{\partial r} + \frac{\sigma_{rr} - \sigma_{\varphi\varphi}}{r} = \rho \frac{\partial^2 u}{\partial t^2}, \quad (18)$$

$$\frac{1}{r} \frac{\partial}{\partial r} \left(k(r)r \frac{\partial \theta}{\partial r} \right) = c_\varepsilon(r) \frac{\partial \theta}{\partial t} + T_0 \gamma(r) \left(\frac{\partial^2 u}{\partial r \partial t} + \frac{1}{r} \frac{\partial u}{\partial r} \right), \quad (19)$$

$$\theta(r, 0) = u(r, 0) = \frac{\partial u}{\partial t}(r, 0) = 0 \quad (20)$$

Граничные условия при тепловом воздействии

$$\theta(r_1, t) = 0, \quad \sigma_{rr}(r_1, t) = 0, \quad -k(r_2) \frac{\partial \theta}{\partial r}(r_2, t) = q_0 \varphi(t), \quad \sigma_{rr}(r_2, t) = 0 \quad (21)$$

Граничные условия при механическом воздействии

$$\theta(r_1, t) = 0, \quad \sigma_{rr}(r_1, t) = 0, \quad \frac{\partial \theta}{\partial r}(r_2, t) = 0, \quad \sigma_{rr}(r_2, t) = p_0 \phi(t) \quad (22)$$

Компоненты тензора напряжений

$$\sigma_{rr} = (\lambda + 2\mu) \frac{\partial u}{\partial r} + \lambda \frac{u}{r} - \gamma \theta, \quad \sigma_{\varphi\varphi} = \lambda \frac{\partial u}{\partial r} + (\lambda + 2\mu) \frac{u}{r} - \gamma \theta$$

3. Задача для конечного термоупругого цилиндра

$$\frac{\partial \sigma_{rr}}{\partial r} + \frac{\partial \sigma_{zr}}{\partial z} + \frac{\sigma_{rr} - \sigma_{\varphi\varphi}}{r} = \rho \frac{\partial^2 u_r}{\partial t^2}, \quad (23)$$

$$\frac{\partial \sigma_{zr}}{\partial r} + \frac{\partial \sigma_{zz}}{\partial z} + \frac{\sigma_{zr}}{r} = \rho \frac{\partial^2 u_z}{\partial t^2}, \quad (24)$$

$$\frac{1}{r} \frac{\partial}{\partial r} (k(r)r \frac{\partial \theta}{\partial r}) + k(r) \frac{\partial^2 \theta}{\partial z^2} = c(r) \frac{\partial \theta}{\partial t} + T_0 \gamma(r) \left(\frac{\partial^2 u_r}{\partial r \partial t} + \frac{1}{r} \frac{\partial u_r}{\partial t} + \frac{\partial^2 u_z}{\partial z \partial t} \right), \quad (25)$$

$$u_z(r, \pm h, t) = 0, \quad \frac{\partial \theta}{\partial z}(r, \pm h, t) = 0, \quad (26)$$

$$\sigma_{rr}(r_1, z, t) = \sigma_{rz}(r_1, z, t) = \theta(r_1, z, t) = 0, \quad (27)$$

$$\theta(r, z, 0) = u_r(r, z, 0) = \frac{\partial u_r}{\partial t}(r, z, 0) = u_z(r, z, 0) = \frac{\partial u_z}{\partial t}(r, z, 0) = 0 \quad (28)$$

Способы нагружения:

$$-k(r_2) \frac{\partial \theta}{\partial r}(r_2, z, t) = q_0 g_1(z) \phi(t), \quad \sigma_{rr}(r_2, z, t) = 0, \quad \sigma_{rz}(r_2, z, t) = 0 \quad \text{тепловой} \quad (29)$$

$$\frac{\partial \theta}{\partial r}(r_2, z, t) = 0, \quad \sigma_{rr}(r_2, z, t) = -p_{rr} g_2(z) \phi(t), \quad \sigma_{rz}(r_2, z, t) = 0 \quad \text{нормальная нагрузка} \quad (30)$$

$$\frac{\partial \theta}{\partial r}(r_2, z, t) = 0, \quad \sigma_{rr}(r_2, z, t) = 0, \quad \sigma_{rz}(r_2, z, t) = -p_{rz} g_3(z) \psi(t) \quad \text{касательная нагрузка} \quad (31)$$

4. Задача для термоупругого прямоугольника

$$\frac{\partial \sigma_{11}}{\partial x_1} + \frac{\partial \sigma_{13}}{\partial x_3} = \rho \frac{\partial^2 u_1}{\partial t^2}, \quad \frac{\partial \sigma_{31}}{\partial x_1} + \frac{\partial \sigma_{33}}{\partial x_3} = \rho \frac{\partial^2 u_3}{\partial t^2}, \quad (32)$$

$$k(x_3) \frac{\partial^2 \theta}{\partial x_1^2} + \frac{\partial}{\partial x_3} \left(k(x_3) \frac{\partial \theta}{\partial x_3} \right) = c_\varepsilon(x_3) \frac{\partial \theta}{\partial t} + T_0 \gamma(x_3) \left(\frac{\partial^2 u}{\partial x_1 \partial t} + \frac{\partial^2 u}{\partial x_3 \partial t} \right), \quad (33)$$

$$u_1(\pm L, x_3, t) = \sigma_{31}(\pm L, x_3, t) = \frac{\partial \theta}{\partial x_1}(\pm L, x_3, t) = 0, \quad (34)$$

$$u_1(x_1, 0, t) = u_3(x_1, 0, t) = \theta(x_1, 0, t) = 0, \quad (35)$$

$$u_1(x_1, x_3, 0) = u_3(x_1, x_3, 0) = \theta(x_1, x_3, 0) = \frac{\partial u_1}{\partial t}(x_1, x_3, 0) = \frac{\partial u_3}{\partial t}(x_1, x_3, 0) = 0 \quad (36)$$

Граничные условия при тепловом воздействии

$$-k(h) \frac{\partial \theta}{\partial x_3}(x_1, h, t) = q_0 R_2(x_1) \varphi(t), \quad \sigma_{13}(x_1, h, t) = \sigma_{33}(x_1, h, t) = 0, \quad (37)$$

Граничные условия при нормальной механической нагрузке

$$\sigma_{33}(x_1, h, t) = -p_{33} R_1(x_1) \phi(t), \quad \sigma_{13}(x_1, h, t) = 0, \quad \frac{\partial \theta}{\partial x_3}(x_1, h, t) = 0 \quad (38)$$

$$\sigma_{11} = (\lambda + 2\mu) \frac{\partial u_1}{\partial x_1} + \lambda \frac{\partial u_3}{\partial x_3} - \gamma \theta, \quad \sigma_{33} = \lambda \frac{\partial u_1}{\partial x_1} + (\lambda + 2\mu) \frac{\partial u_3}{\partial x_3} - \gamma \theta, \quad \sigma_{13} = \sigma_{31} = \mu \left(\frac{\partial u_1}{\partial x_3} + \frac{\partial u_3}{\partial x_1} \right)$$

5. Задача для неоднородного по толщине слоя

$$(\lambda + 2\mu)u_{1,11} + (\lambda u_{3,3})_{,1} + ((\mu(u_{1,3} + u_{3,1})))_{,3} - (\gamma\theta)_{,1} = \rho\ddot{u}_1, \quad (39)$$

$$((\lambda + 2\mu)u_{3,3})_{,3} + (\lambda u_{1,1})_{,3} + ((\mu(u_{1,3} + u_{3,1})))_{,1} - (\gamma\theta)_{,3} = \rho\ddot{u}_3, \quad (40)$$

$$k\theta_{,11} + (k\theta_{,3})_{,3} = c\dot{\theta} + T_0\gamma(\dot{u}_{1,1} + \dot{u}_{3,3}), \quad (41)$$

$$u_1(x_1, 0, t) = u_3(x_1, 0, t) = \theta(x_1, 0, t) = 0, \quad (42)$$

$$\sigma_{13}(x_1, h, t) = F_1(x_1, t), \quad \sigma_{33}(x_1, h, t) = F_2(x_1, t), \quad (43)$$

$$q(x_1, h, t) = F_3(x_1, t), \quad (44)$$

$$u_1(x_1, x_3, 0) = u_3(x_1, x_3, 0) = \theta(x_1, x_3, 0) = \dot{u}_1(x_1, x_3, 0) = \dot{u}_3(x_1, x_3, 0) = 0 \quad (45)$$

Обратная задача сводится к определению неоднородных по толщине слоя характеристик по дополнительной информации о полях температуры и смещений, измеренных на верхней границе слоя:

$$\theta(x_1, h, t)| = f(x_1, t), \quad t \in [T_1, T_2] \quad (46)$$

$$u_i(x_1, h, t)| = g_i(x_1, t), \quad t \in [T_3, T_4] \quad (47)$$

Упрощение задачи для слоя

С помощью процедуры осреднения двумерная задача для слоя распадается на две более простые одномерные задачи усредненных по продольной координате компонент полей.

$$\begin{aligned}\frac{\partial}{\partial z} \left(\bar{\mu} \frac{\partial \bar{U}_1}{\partial z} \right) &= \bar{\rho} \frac{\partial^2 \bar{U}_1}{\partial \tau_2^2} \\ \bar{U}_1(0, \tau_2) &= 0 \\ \bar{\mu} \frac{\partial \bar{U}_1}{\partial z}(1, \tau_2) &= \bar{F}_2(\tau_2) \\ \bar{U}_1(z, 0) &= 0 \\ \bar{U}_1(1, \tau_2) &= g_1(\tau_2) \quad \tau_2 \in [a_1, b_1]\end{aligned}\tag{48}$$

$$\begin{aligned}\frac{\partial}{\partial z} \left(\bar{s}(z) \frac{\partial \bar{U}_3}{\partial z} \right) - \frac{\partial}{\partial z} (\bar{\gamma}(z) \bar{W}) &= \varepsilon_0^2 \bar{\rho}(z) \frac{\partial^2 \bar{U}_3}{\partial \tau_1^2} \\ \frac{\partial}{\partial z} \left(\bar{k}(z) \frac{\partial \bar{W}}{\partial z} \right) &= \bar{c}(z) \frac{\partial \bar{W}}{\partial \tau_1} + \delta_0 \bar{\gamma}(z) \frac{\partial^2 \bar{U}_3}{\partial z \partial \tau_1} \\ \bar{U}_3(0, \tau_1) = \bar{W}(0, \tau_1) &= 0 \\ \bar{s}(z) \frac{\partial \bar{U}_3}{\partial z}(0, \tau_1) - \bar{\gamma} \bar{W}(0, \tau_1) &= 0 \\ -\bar{k}(z) \frac{\partial \bar{W}}{\partial z}(0, \tau_1) &= \bar{F}_3(\tau_1) \\ \bar{W}(z, 0) = \bar{U}_3(z, 0) = \frac{\partial \bar{U}_3}{\partial \tau_1}(z, 0) &= 0 \\ \bar{W}(1, \tau_1) = f(\tau_1) \quad \tau_1 \in [a_3, b_3]\end{aligned}\tag{49}$$

Схема решения связанных задач термомеханики

1. Обезразмеривание задач с введением параметра связанности $\delta_0 = \frac{\gamma_0^2 T_0}{c_0 s_0}$.
2. Применение к обезразмеренным задачам преобразование Лапласа по времени.
3. Получение канонической системы ОДУ 1-го порядка в трансформантах Лапласа с переменными коэффициентами.
4. В случае задачи для термоупругого стержня – сведение к системе интегральных уравнений Фредгольма 2-го порядка и решение ее методом коллокаций.
5. В случае задачи для термоупругой трубы – применение метода пристрелки.
6. В случае задач для прямоугольника и конечного цилиндра – совместное применение метода разделения переменных и метода пристрелки для гармоник.
7. Решение в оригиналах - путем обращения трансформант одним из 2-х методов: 1) на основе теории вычетов (для термоупругого стержня); 2) методом разложения оригинала по смещенным многочленам Лежандра (для других тел).

Операторные уравнения для стержня

$$\int_0^1 \delta \bar{k}^{(n-1)} \left(\frac{dW^{(n-1)}}{dz} \right)^2 dz + p \int_0^1 \delta \bar{c}^{(n-1)} \left(\tilde{W}^{(n-1)} \right)^2 dz +$$

$$+ \delta_0 p \int_0^1 \delta \bar{\gamma}^{(n-1)} \frac{d\tilde{U}^{(n-1)}}{dz} \tilde{W}^{(n-1)} dz = \beta_1 \tilde{\phi}(p) (\tilde{f}(p) - \tilde{W}^{(n-1)}(1, p)),$$
(50)

$$\int_0^1 \delta \bar{E}^{(n-1)} \left(\frac{d\tilde{U}^{(n-1)}}{dz} \right)^2 dz + p^2 \int_0^1 \delta \bar{\rho}^{(n-1)} \left(\tilde{U}^{(n-1)} \right)^2 dz -$$

$$- \int_0^1 \delta \bar{\gamma}^{(n-1)} \frac{d\tilde{U}^{(n-1)}}{dz} \tilde{W}^{(n-1)} dz = -\beta_2 \tilde{\phi}(p) (\tilde{g}(p) - \tilde{U}^{(n-1)}(1, p))$$
(51)

для трубы

$$\int_{\xi_0}^1 \delta \bar{k}^{(n-1)} \left(\frac{d\tilde{W}^{(n-1)}}{d\xi} \right)^2 \xi d\xi + p \int_{\xi_0}^1 \delta \bar{c}^{(n-1)} \left(\tilde{W}^{(n-1)} \right)^2 \xi d\xi +$$

$$+ \delta_0 p \int_{\xi_0}^1 \delta \bar{\gamma}^{(n-1)} \left(\frac{d\tilde{U}_r^{(n-1)}}{d\xi} + \frac{\tilde{U}_r^{(n-1)}}{\xi} \right) \tilde{W}^{(n-1)} \xi d\xi = \beta_1 \tilde{\phi}(p) (\tilde{f}(p) - \tilde{W}^{(n-1)}(1, p)),$$
(52)

$$\int_{\xi_0}^1 \delta \bar{\lambda}^{(n-1)} \left(\frac{d\tilde{U}_r^{(n-1)}}{d\xi} + \frac{\tilde{U}_r^{(n-1)}}{\xi} \right)^2 \xi d\xi + \int_{\xi_0}^1 \delta \bar{\mu}^{(n-1)} \left(\left(\frac{d\tilde{U}_r^{(n-1)}}{d\xi} \right)^2 + \left(\frac{\tilde{U}_r^{(n-1)}}{\xi} \right)^2 \right) \xi d\xi +$$

$$+ p^2 \int_{\xi_0}^1 \delta \bar{\rho}^{(n-1)} \left(\tilde{U}_r^{(n-1)} \right)^2 \xi d\xi - \delta_0 \int_{\xi_0}^1 \delta \bar{\gamma}^{(n-1)} \left(\frac{d\tilde{U}_r^{(n-1)}}{d\xi} + \frac{\tilde{U}_r^{(n-1)}}{\xi} \right) \tilde{W}^{(n-1)} \xi d\xi = -\beta_2 \tilde{\phi}(p) (\tilde{g}(p) - \tilde{U}_r^{(n-1)}(1, p))$$
(53)

для конечного цилиндра

$$\tilde{f}(\xi_2, p) = \sum_{N_3=0}^{\infty} \tilde{f}_{N_3}(p) \cos(\nu_{N_3} \xi_2) \quad \tilde{g}(\xi_2, p) = \sum_{N=0}^{\infty} \tilde{g}_{N_3}(p) \cos(\nu_{N_3} \xi_2) \quad (54)$$

Операторные уравнения сформулированы для гармоник

При $N = 0$

$$\int_{\xi_0}^1 \left(\delta \bar{k}^{(n-1)} \left(\tilde{d}'_0^{(n-1)} \right)^2 + p \delta \bar{c}^{(n-1)} \left(\tilde{d}_0^{(n-1)} \right)^2 + p \delta_0 \delta \bar{\gamma}^{(n-1)} \left(\tilde{a}'_0^{(n-1)} + \frac{\tilde{a}_0^{(n-1)}}{\xi_1} \right) \tilde{d}_0^{(n-1)} \right) \xi_1 d\xi_1 = g_{10} \beta_1 \tilde{\varphi}(p) \left(\tilde{f}_0(p) - \tilde{d}_0^{(n-1)}(1, p) \right), \quad (55)$$

$$\int_{\xi_0}^1 \left(\delta \bar{\lambda}^{(n-1)} \left(\tilde{a}'_0^{(n-1)} + \frac{\tilde{a}_0^{(n-1)}}{\xi_1} \right)^2 + \delta \bar{\mu}^{(n-1)} \left(\left(\tilde{a}'_0^{(n-1)} \right)^2 + \left(\frac{\tilde{a}_0^{(n-1)}}{\xi_1} \right)^2 \right) + p^2 \delta \bar{\rho}^{(n-1)} \left(\tilde{a}_0^{(n-1)} \right)^2 \right) -$$

$$- \delta_0 \delta \bar{\gamma}^{(n-1)} \left(\tilde{a}'_0^{(n-1)} + \frac{\tilde{a}_0^{(n-1)}}{\xi_1} \right) \tilde{d}_0^{(n-1)} \xi_1 d\xi_1 = -g_{20} \beta_2 \tilde{\phi}(p) \left(\tilde{g}_0(p) - \tilde{a}_0^{(n-1)}(1, p) \right) \quad (56)$$

При $N = 1, 2, \dots$

$$\int_{\xi_0}^1 \left(\delta \bar{k}^{(n-1)} \left(\left(\tilde{d}'_N^{(n-1)} \right)^2 + \nu_N^2 \left(\tilde{d}_N^{(n-1)} \right)^2 \right) + p \delta \bar{c}^{(n-1)} \left(\tilde{d}_N^{(n-1)} \right)^2 + \right. \quad (57)$$

$$\left. + 2p \delta_0 \delta \bar{\gamma}^{(n-1)} \left(\tilde{a}'_N^{(n-1)} + \frac{\tilde{a}_n^{(n-1)}}{\xi_1} + \nu_N \tilde{b}_N^{(n-1)} \right) \tilde{d}_N^{(n-1)} \right) \xi_1 d\xi_1 = g_{1N_3} \beta_1 \tilde{\varphi}(p) \left(\tilde{f}_{N_3}(p) - \tilde{d}_{N_3}^{(n-1)}(1, p) \right),$$

$$\int_{\xi_0}^1 \left(\delta \bar{\lambda}^{(n-1)} \left(\tilde{a}'_N^{(n-1)} + \frac{\tilde{a}_N^{(n-1)}}{\xi_1} + \nu_N \tilde{b}_N^{(n-1)} \right)^2 + 2y_0 \delta \bar{\mu}^{(n-1)} \left(\left(\tilde{a}'_N^{(n-1)} \right)^2 + \left(\frac{\tilde{a}_N^{(n-1)}}{\xi_1} \right)^2 + \left(\nu_N \tilde{b}_N^{(n-1)} \right)^2 + \frac{1}{2} \left(\tilde{b}_N^{(n-1)} - \nu_N \tilde{a}_N^{(n-1)} \right)^2 \right) + \right. \quad (58)$$

$$\left. + p^2 \delta \bar{\rho}^{(n-1)} \left(\left(\tilde{a}_N^{(n-1)} \right)^2 + \left(\tilde{b}_N^{(n-1)} \right)^2 \right) - 2\delta_0 \delta \bar{\gamma}^{(n-1)} \left(\tilde{a}'_N^{(n-1)} + \frac{\tilde{a}_N^{(n-1)}}{\xi_1} + \nu_N \tilde{b}_N^{(n-1)} \right) \tilde{d}_N^{(n-1)} \right) \xi_1 d\xi_1 = -g_{2N_3} \beta_2 \tilde{\phi}(p) \left(\tilde{g}_{N_3}(p) - \tilde{a}_{N_3}^{(n-1)}(1, p) \right)$$

Влияние модуля Юнга на смещение торца стержня

$$\phi(\tau_2) = H(\tau_2)$$

$\bar{E}(z) = 1$ - сплошная линия

$\bar{E}(z) = 1.2 - 0.5z^3$ - точки

$\bar{E}(z) = 1 + (z-1)^2$ - пунктир

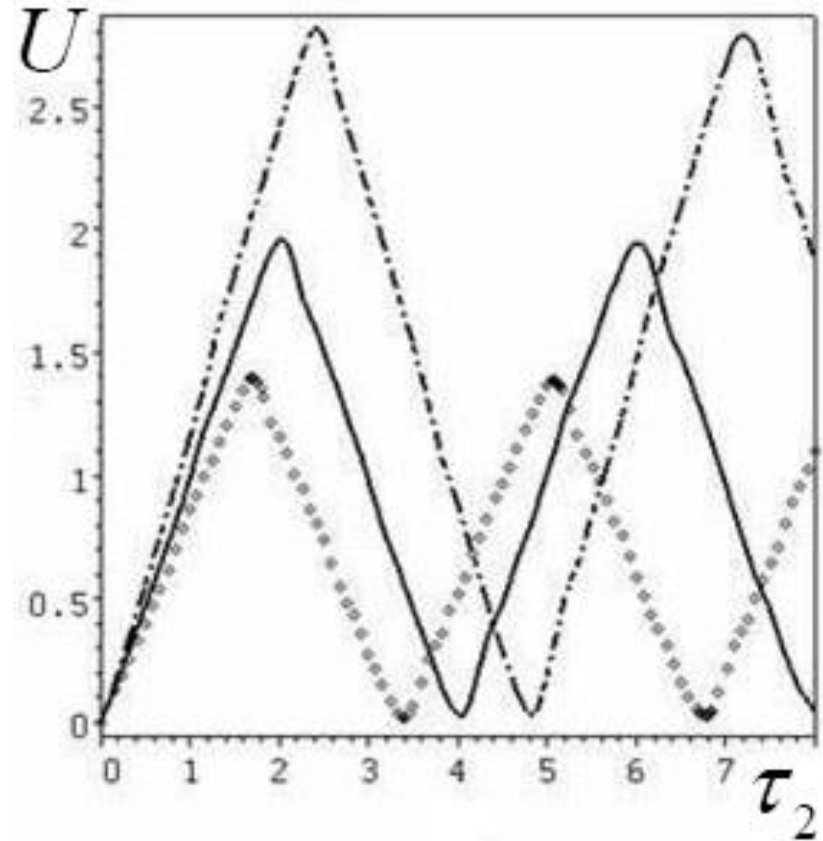


Рис. 1

Различные законы неоднородности существенно влияют на граничные физические поля.

Исследование влияния различных законов неоднородности на физические поля

Влияние коэффициента теплопроводности на температуру внешней поверхности трубы

$$\varphi(\tau_1) = H(\tau_1)$$

$\bar{k}(\xi) = 1$ - сплошная линия

$\bar{k}(\xi) = 2.7 - \ln(0.5 + 25(\xi - \xi_0))$ - точки

$\bar{k}(\xi) = 1.5 + \cos(10(\xi - \xi_0))$ - пунктир

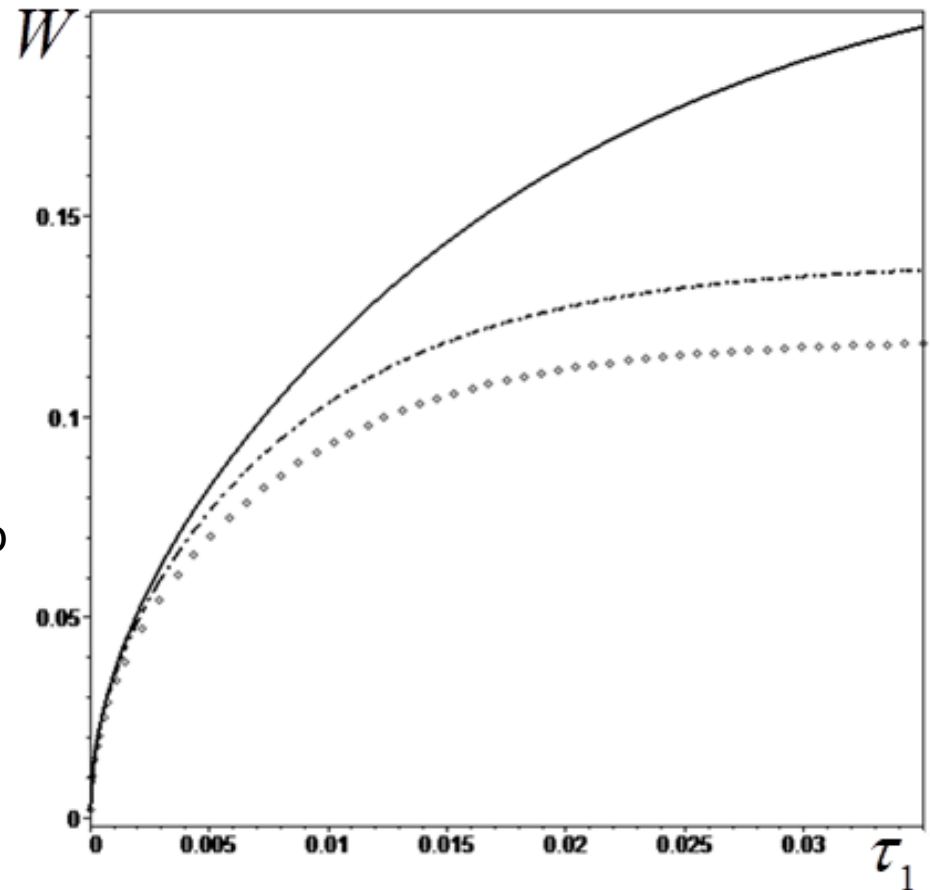


Рис. 2

Реконструкция одной характеристики при известных остальных

Операторные уравнения в оригиналах для стержня

Операторные уравнения на конечном временном отрезке (в оригиналах) получаются путем обращения операторных уравнений в трансформантах на основе теорем операционного исчисления.

Для нахождения поправок коэффициента теплопроводности

$$\int_0^1 \delta \bar{k}^{(n-1)} R_1(z, \tau_1) dz = f(\tau_1) - W^{(n-1)}(1, \tau_1), \quad (59)$$

Для нахождения поправок удельной теплоемкости

$$\int_0^1 \delta \bar{c}^{(n-1)} R_2(z, \tau_1) dz = f(\tau_1) - W^{(n-1)}(1, \tau_1), \quad (60)$$

$$R_1(z, \tau_1) = \frac{1}{\beta_1} \int_0^{\tau_1} \frac{\partial^2 W^{(n-1)}(z, \tau)}{\partial z \partial \tau} \frac{\partial W^{(n-1)}(z, \tau_1 - \tau)}{\partial z} d\tau,$$

$$R_2(z, \tau_1) = \frac{1}{\beta_1} \int_0^{\tau_1} \frac{\partial W^{(n-1)}(z, \tau)}{\partial \tau} \frac{\partial W^{(n-1)}(z, \tau_1 - \tau)}{\partial \tau} d\tau$$

Влияние выбора временного диапазона съема дополнительной информации на результаты реконструкции функции

$$\varphi(\tau_1) = H(\tau_1)$$

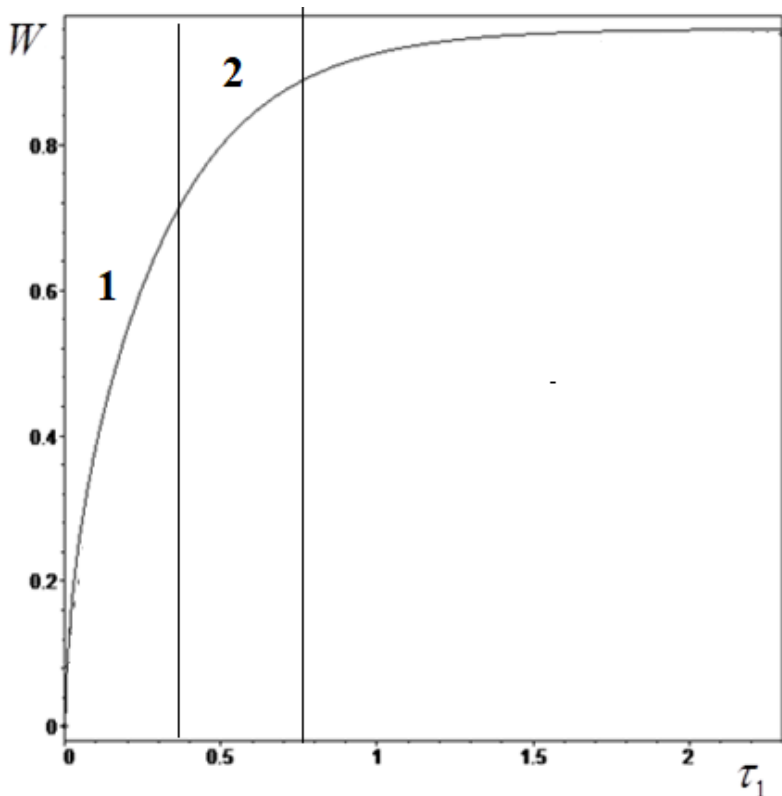
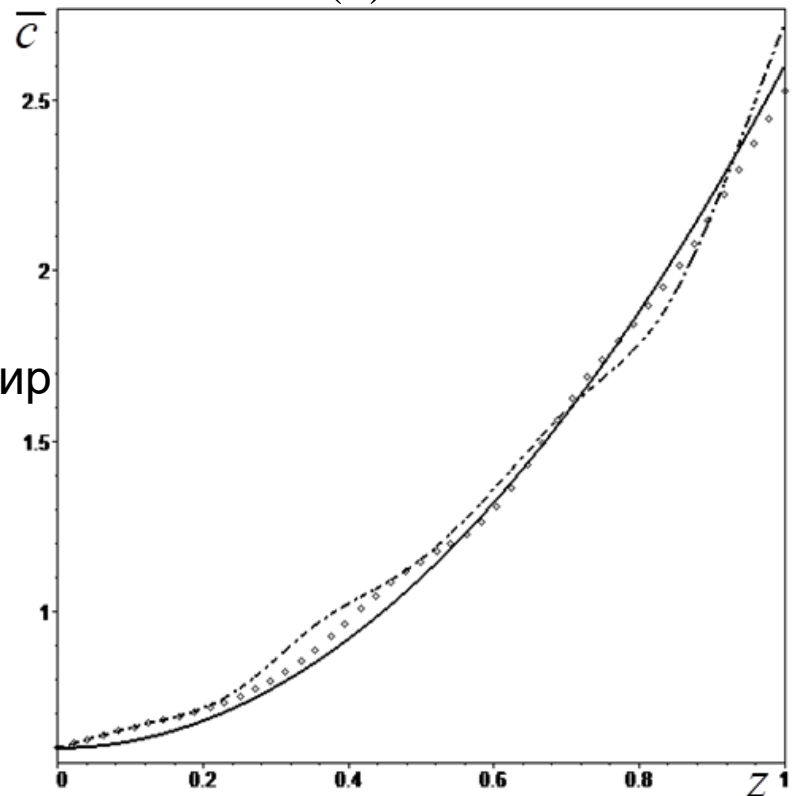


Рис. 3

$$\bar{c}(z) = 0.6 + 2z^2$$



1 – точки
2- штрихпунктир

Рис. 4

В первом случае погрешность реконструкции на 8 итерации не превышает 2%, а во втором – 6%. Таким образом, наиболее информативным является первый интервал, при котором скорость изменения дополнительной информации максимальна и он находится в наиболее близкой к началу отчета времени зоне.

Сходимость итерационного процесса реконструкции функции

$$\bar{k}(z) = 1.5 - \cos(\pi z - 1)$$

Таблица.

Номер итерации	Невязка	Относительная погрешность, %
1	0.00296596	19.8
2	0.00024487	15.4
3	0.00001750	10.7
4	00.00000288	7.2
5	0.00000094	6.0
6	0.00000080	5.9

Итерационный процесс реконструкции быстро сходится, т.к. функционал невязки на пятой итерации достигает порогового значения, а дальнейшее увеличение числа итераций практически не увеличивает точность реконструкции.

Результаты идентификации коэффициентов Ламе трубы при механическом нагружении

$$\bar{\lambda}(\xi) = 0.5e^{10(\xi - \xi_0)} - 0.2$$

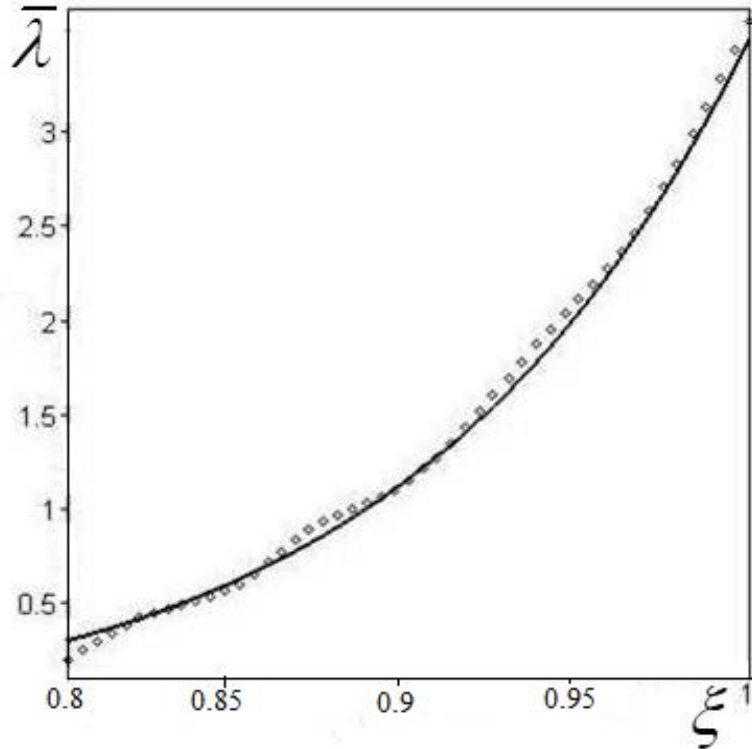


Рис. 5

$$\bar{\mu}(\xi) = 50(\xi - \xi_0)^2 + 2$$

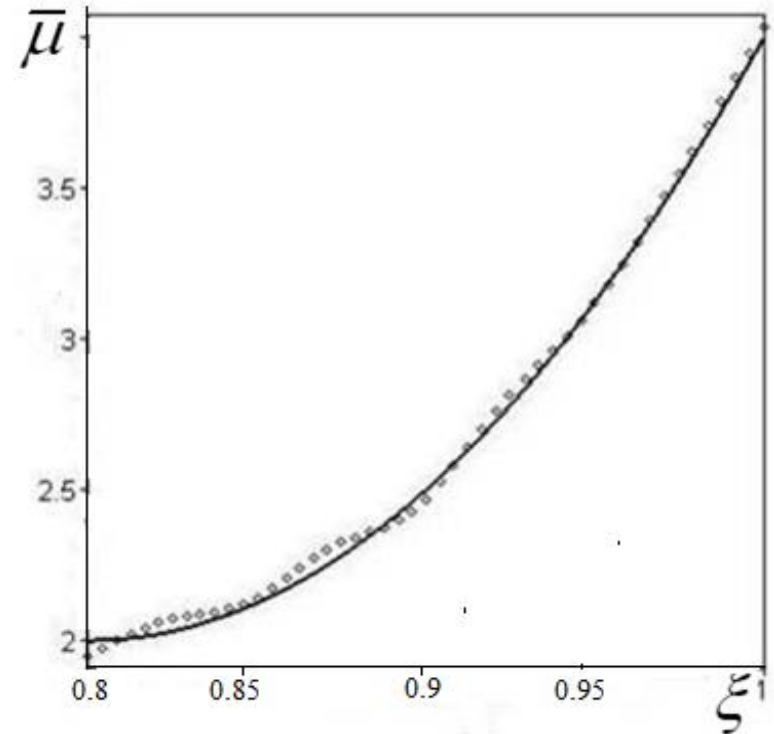


Рис. 6

Влияние параметра термомеханической связанности на результаты реконструкции коэффициента температурных напряжений трубы

$$\bar{\gamma}(\xi) = 1 + \sin(10(\xi - \xi_0))$$

$\delta_0 = 0.1$

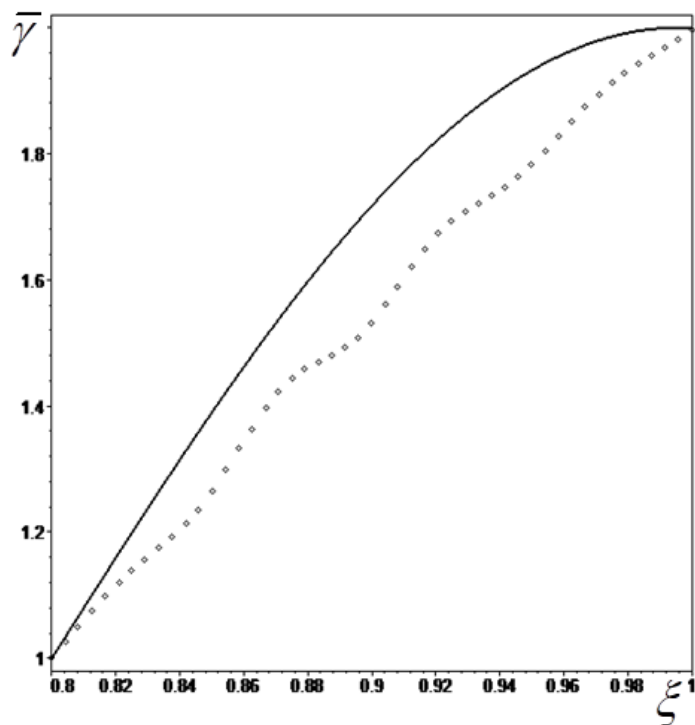


Рис. 7

$\delta_0 = 0.5$

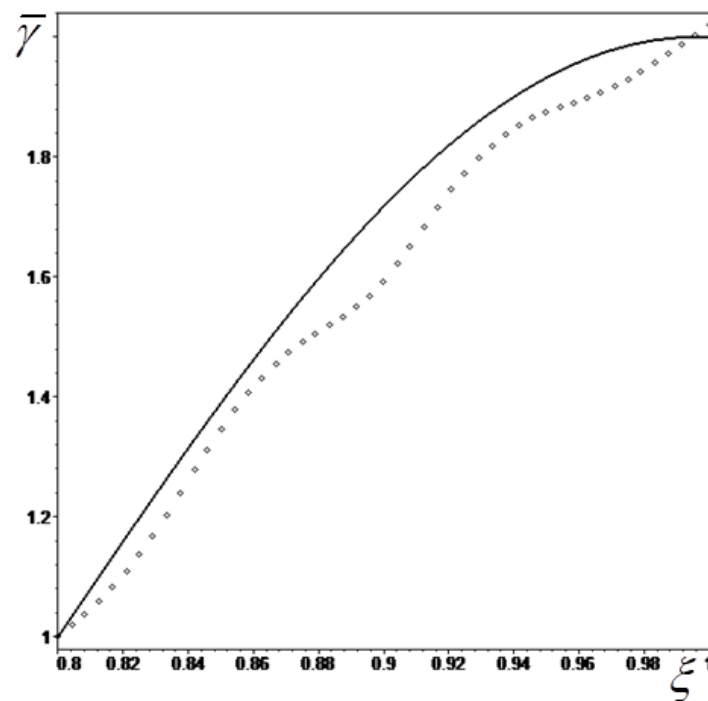


Рис. 8

Результаты идентификация свойств слоя

Решение задачи 1. Восстановление модуля сдвига

$$\bar{\mu}(z) = 1 + e^{-1000(z-0.45)^4}$$

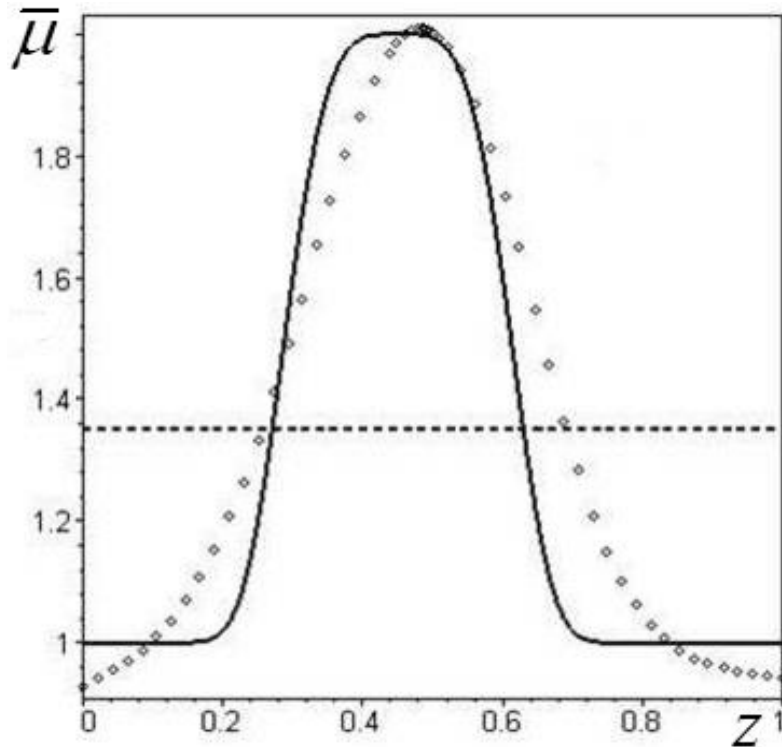


Рис. 9

Решение задачи 2. Реконструкция коэффициента теплопроводности кожи

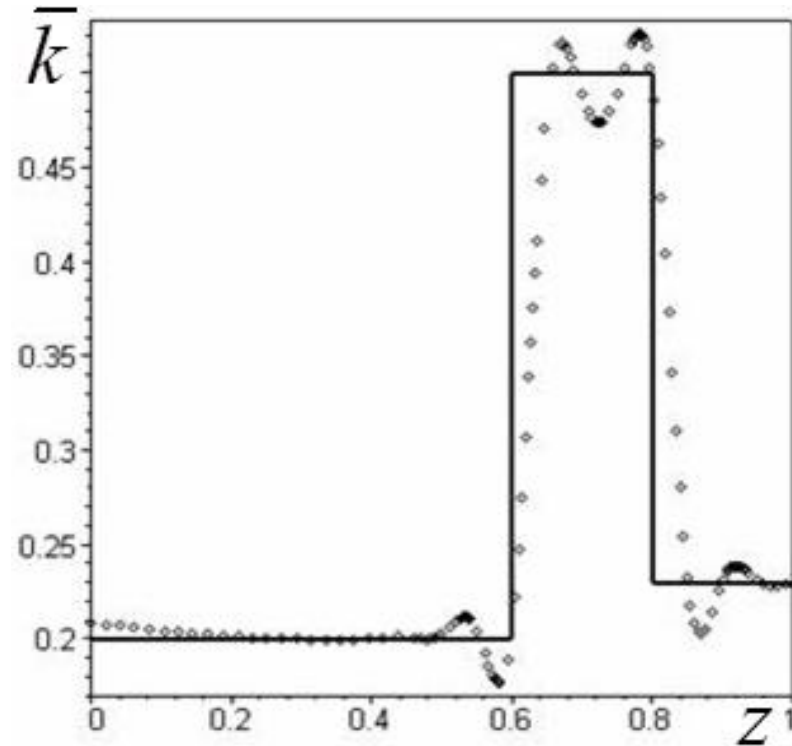


Рис. 10

Влияние зашумления дополнительной информации на результаты реконструкции функции

$$f_{\beta}(\tau_1) = f(\tau_1)(1 + \beta\gamma_0) \quad (61)$$

β - амплитуда зашумления

γ_0 - случайная величина с равномерным законом распределения на отрезке $[-1, 1]$

Точки – отсутствие шума

Штрихпунктир – 1%-й шум

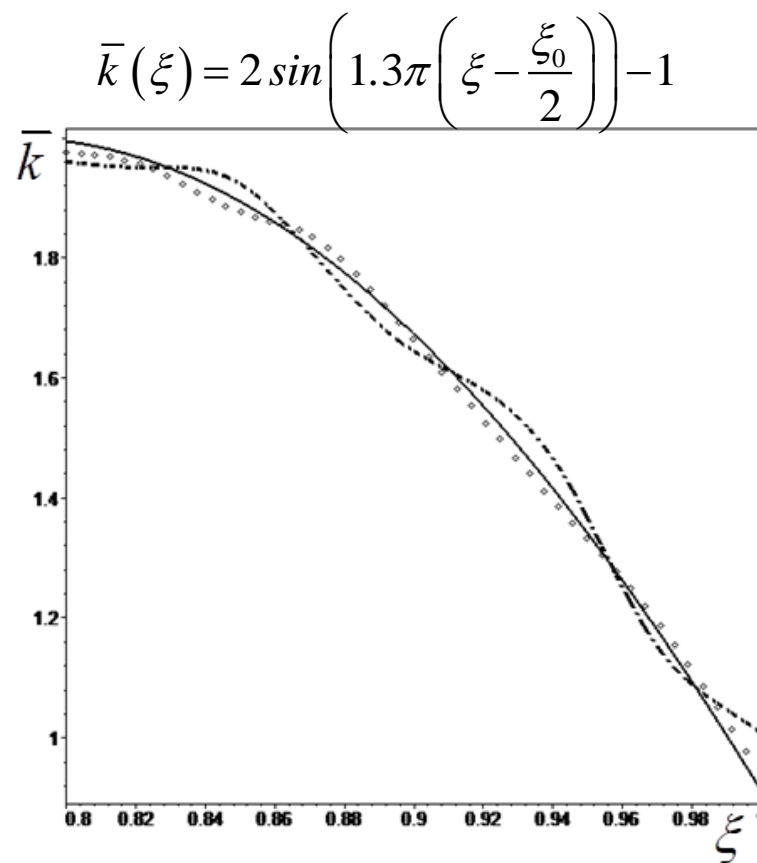


Рис. 11

Идентификация 2-х теплофизических характеристик

Рассматривается два типа тепловой нагрузки на торце стержня $z=1$
1) тепловой поток; 2) температура, меняющаяся по закону $\tau_1 e^{-\tau_1}$

Дополнительная информация

$$W_I(1, \tau_1) = f_I(\tau_1) \quad \tau_1 \in [a_1, b_1] \quad (62)$$

$$Q_{II}(1, \tau_1) = f_{II}(\tau_1) \quad \tau_1 \in [a_2, b_2] \quad (63)$$

Начальное приближение определяется в классе линейных функций путем минимизации функционала невязки

$$J = \int_{a_1}^{b_1} (f_I(\tau_1) - W_I(1, \tau_1))^2 d\tau_1 + \int_{a_2}^{b_2} (f_{II}(\tau_1) - Q_{II}(1, \tau_1))^2 d\tau_1 \quad (64)$$

Система операторных уравнений

$$\int_0^1 (\delta \bar{k}^{(n-1)} R_{11}(z, \tau_1) + \delta \bar{c}^{(n-1)} R_{12}(z, \tau_1)) dz = f_I(\tau_1) - W_I^{(n-1)}(1, \tau_1) \quad (65)$$

$$\int_0^1 (\delta \bar{k}^{(n-1)} R_{21}(z, \tau_1) + \delta \bar{c}^{(n-1)} R_{22}(z, \tau_1)) dz = f_{II}(\tau_1) - Q_{II}^{(n-1)}(1, \tau_1) \quad (66)$$

Результаты одновременной реконструкции коэффициента теплопроводности и удельной теплоемкости стержня

$$\bar{k}(z) = 1 - 0.5(z-1)^2$$

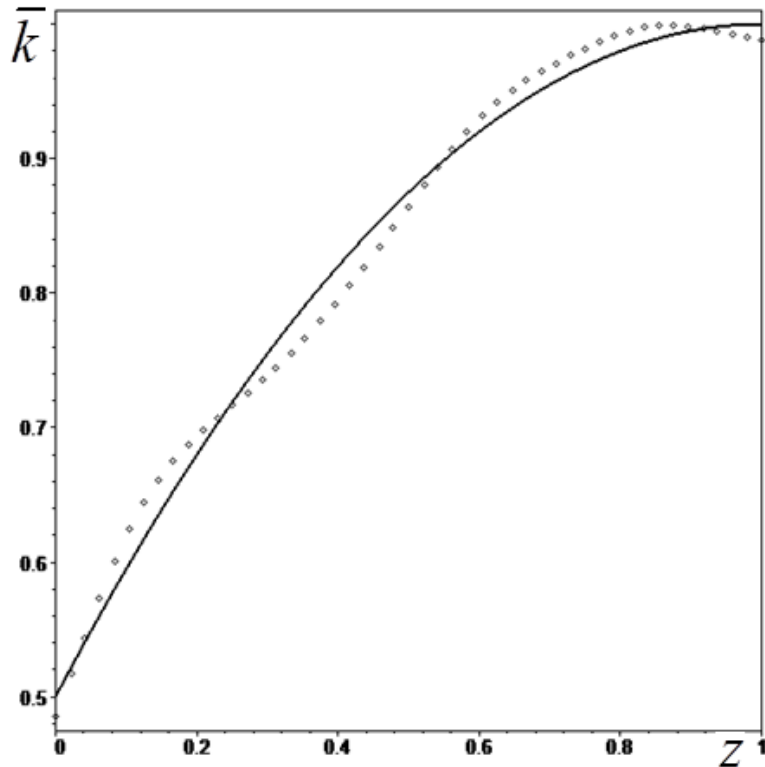


Рис. 12

$$\bar{c}(z) = 0.5(1 + z^2)$$

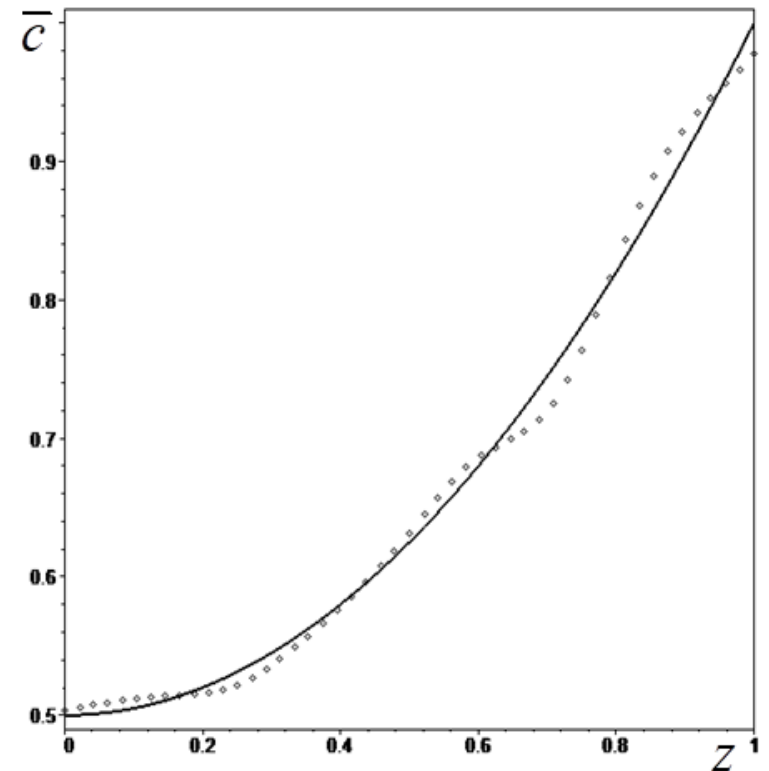


Рис. 13

Поэтапное восстановления двух характеристик конечного цилиндра $\bar{c}(\xi_1)$ и $\bar{k}(\xi_1)$

В случае конечного цилиндра проведенные расчеты показали, что значение норм ядер при поправке коэффициента теплопроводности значительно больше, чем удельной теплоемкости, поэтому восстановить их из решения системы ИУФ1-го рода невозможно.

Принята поэтапная реконструкция функций $\bar{c}(\xi_1)$ и $\bar{k}(\xi_1)$

1) Нахождение поправок $\delta\bar{c}^{(n-1)}$ при $\delta\bar{k}^{(n-1)} = 0$

$$\int_{\xi_0}^1 \delta\bar{c}^{(n-1)} P_1(\xi_1, \tau_1) \xi_1 d\xi_1 = f_0(\tau_1) - d_0^{(n-1)}(1, \tau_1) \quad \tau_1 \in [a, b] \quad (67)$$

2) Нахождение поправок $\delta\bar{k}^{(n-1)}$ при $\delta\bar{c}^{(n-1)} = 0$

$$\int_{\xi_0}^1 \delta\bar{k}^{(n-1)} P_2(\xi_1, \tau_1) \xi_1 d\xi_1 = f_0(\tau_1) - d_0^{(n-1)}(1, \tau_1) \quad \tau_1 \in [a, b] \quad (68)$$

$$P_1(\xi_1, \tau_1) = \frac{1}{g_{10}\beta_1} \int_0^{\tau_1} \frac{\partial d_0^{(n-1)}(\xi_1, \tau_1)}{\partial \tau} \frac{\partial d_0^{(n-1)}(\xi_1, \tau_1 - \tau)}{\partial \tau} d\tau$$

$$P_2(\xi_1, \tau_1) = \frac{1}{g_{10}\beta_1} \int_0^{\tau_1} \frac{\partial d_0^{(n-1)}(\xi_1, \tau)}{\partial \xi_1} \frac{\partial^2 d_0^{(n-1)}(\xi_1, \tau_1 - \tau)}{\partial \xi_1 \partial \tau} d\tau$$

Результаты поэтапной реконструкции двух характеристик конечного цилиндра

1-й этап

$$\bar{c}(\xi_1) = 6.4\xi_1^2 - 10.2\xi_1 + 5.1$$

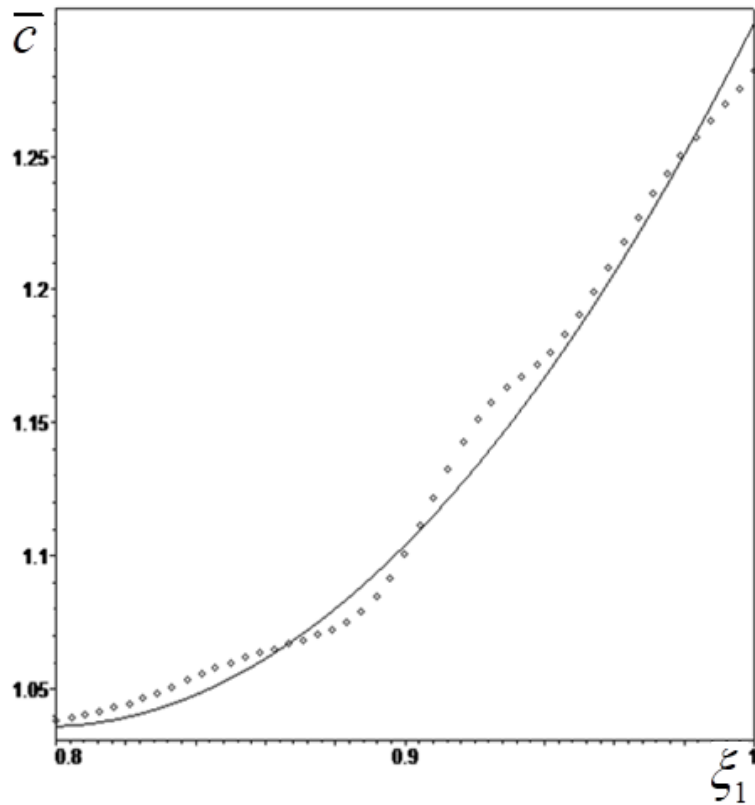


Рис. 14

2-й этап

$$\bar{k}(\xi_1) = -9.3\xi_1^2 + 14.8\xi_1 - 3.18$$

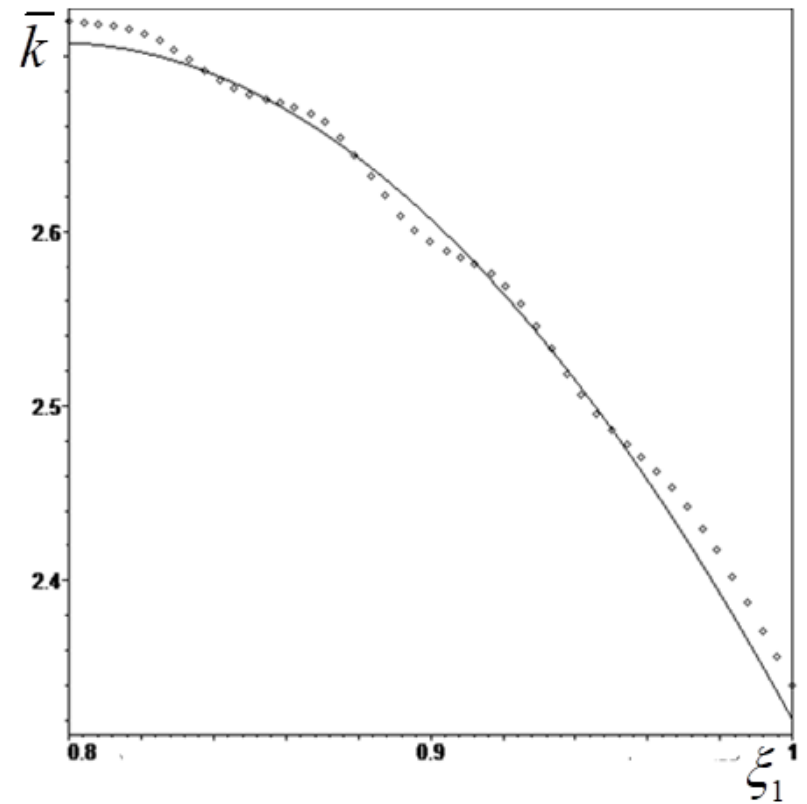


Рис. 15

Результаты поэтапной реконструкции двух характеристик прямоугольника

1-й этап

$$\bar{k}(y_3) = e^{-1.38y_3}$$

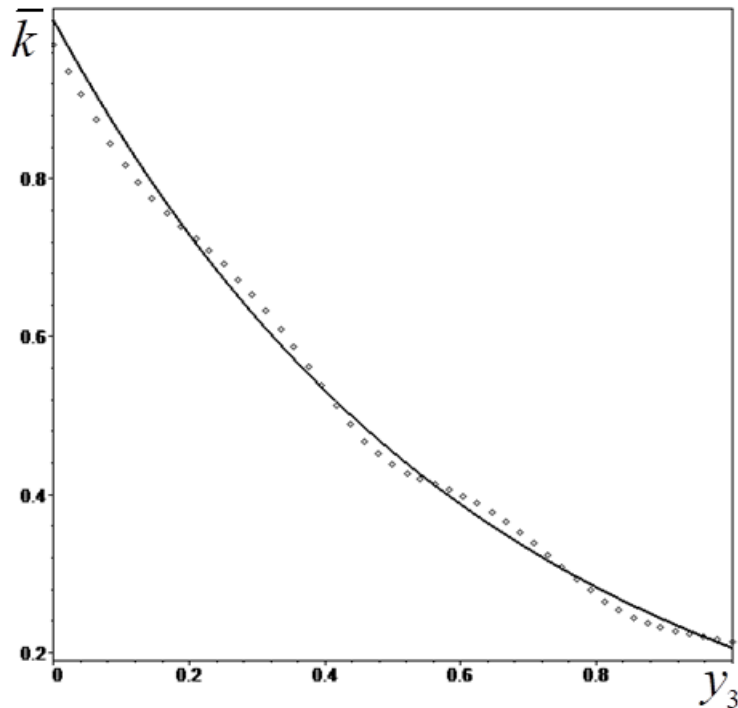


Рис. 16

2-й этап

$$\bar{\gamma}(y_3) = 0.8 + \sin(1.8y_3)$$

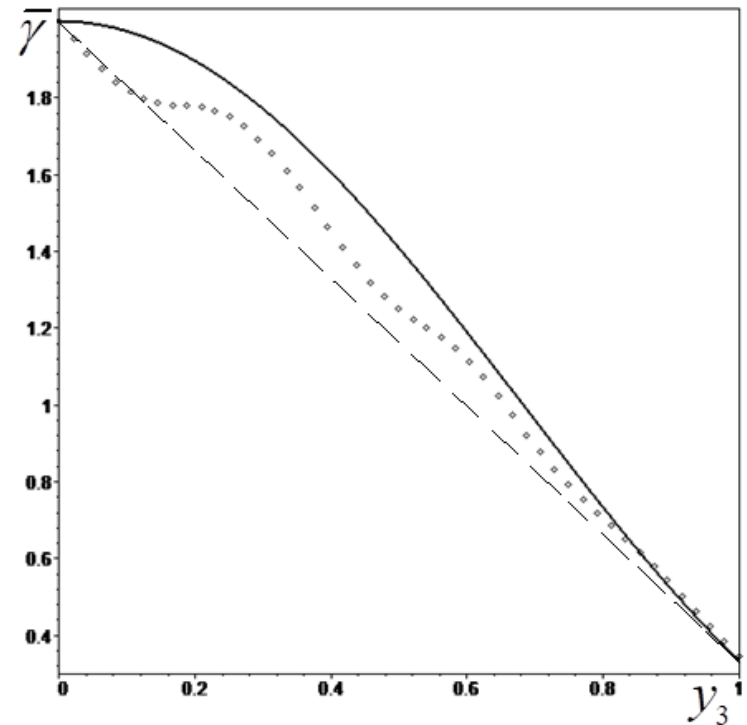


Рис. 17

Особенности итерационной идентификации термомеханических характеристик

1. В случае реконструкции одной характеристики монотонные функции восстанавливаются лучше немонотонных: при отсутствии зашумления погрешность реконструкции не превышает 4% для монотонных и 8% для немонотонных функций. При этом итерационный процесс быстро сходится – для выполнения первого условия выхода, как правило, требуется не более 8 итераций.
2. Процедура реконструкции оказалась устойчивой к 1%-му зашумлению входной информации.
3. Максимальная погрешность реконструкция удельной теплоемкости, плотности, коэффициента температурных напряжений возникает на заземленном торце стержня и внутренней поверхности цилиндра, что связано с особенностью ядер соответствующих интегральных уравнений.
4. При уменьшении толщины цилиндра и толщины слоистого материала погрешность реконструкции возрастает. В случае слоистого материала максимальная погрешность – в области сопряжения слоев.
5. Успешная реконструкция коэффициента температурных напряжений возможна только при большом параметре термомеханической связанности.

Спасибо за внимание!